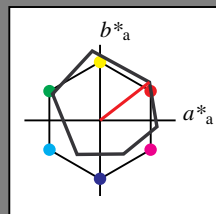


Eingabe: Farbmetrisches Reflexions-System ORS18

für Buntton $h^* = lab^*h = 38/360 = 0.105$
 lab^*ich und lab^*nch

D65: Buntton O
LCH*Ma: 48 83 38
rgb*Ma: 1.0 0.0 0.0

Dreiecks-Helligkeit t^*



%Umfang
 $u^*_{rel} = 93$
%Regularität
 $g^*_{H,rel} = 57$
 $g^*_{C,rel} = 59$

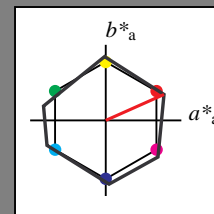
ORS18; adaptierte CIELAB-Daten					
	$L^*=L^*_a$	a^*_a	b^*_a	$C^*_{ab,a}$	$h^*_{ab,a}$
RMa	47.94	65.37	50.52	82.62	38
JMa	90.37	-10.27	91.77	92.34	96
GMa	50.9	-62.79	34.95	71.87	151
G50BMa	58.62	-30.35	-45.01	54.3	236
BMa	25.71	31.11	-44.42	54.24	305
B50RMa	48.13	75.27	-8.35	75.73	354
NMa	18.01	0.0	0.0	0.0	0
WMa	95.41	0.0	0.0	0.0	0
RCIE	39.92	58.66	26.98	64.56	25
JCIE	81.26	-2.17	67.76	67.79	92
GCIE	52.23	-42.26	11.75	43.87	164
BCIE	30.57	1.15	-46.84	46.87	271

Ausgabe: Farbmetrisches Reflexions-System NRS11

für Buntton $h^* = lab^*h = 24/360 = 0.067$
 lab^*ich und lab^*nch

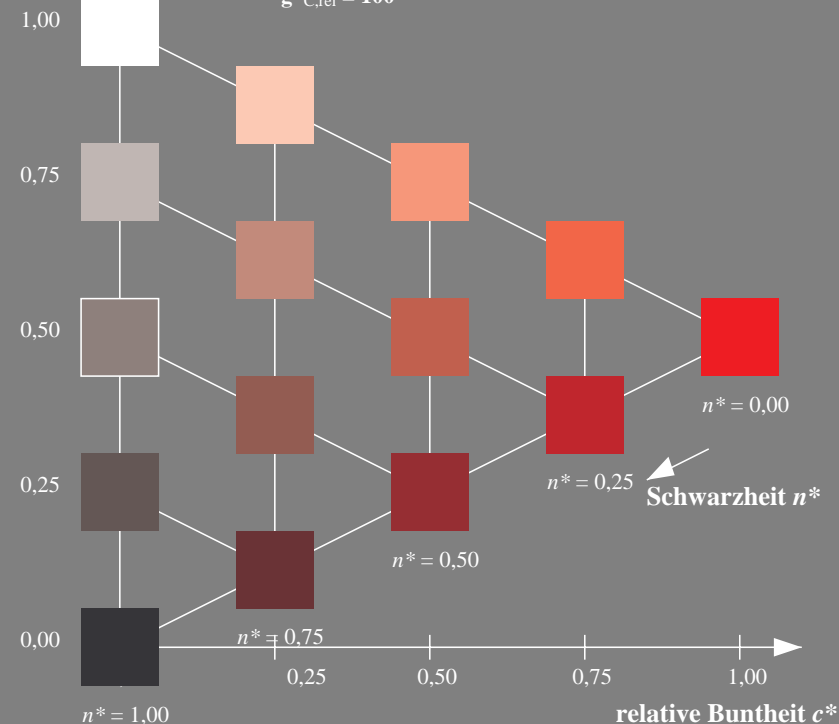
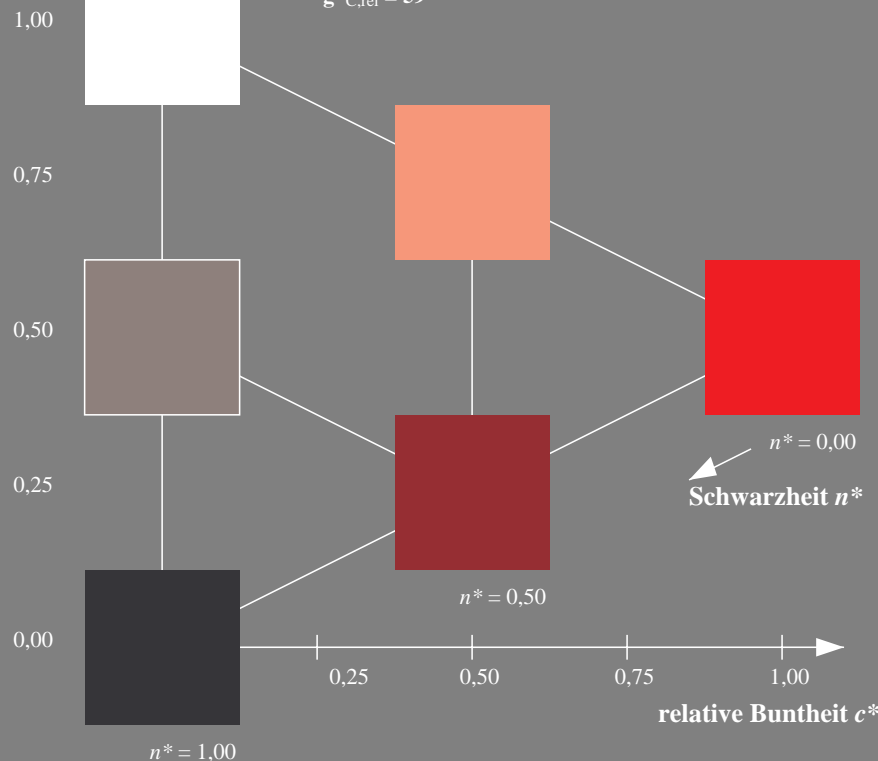
D65: Buntton R
LCH*Ma: 53 84 24
rgb*Ma: 1.0 0.0 0.0

Dreiecks-Helligkeit t^*



%Umfang
 $u^*_{rel} = 119$
%Regularität
 $g^*_{H,rel} = 47$
 $g^*_{C,rel} = 100$

NRS11; adaptierte CIELAB-Daten					
	$L^*=L^*_a$	a^*_a	b^*_a	$C^*_{ab,a}$	$h^*_{ab,a}$
RMa	53.2	77.06	34.32	84.36	24
JMa	53.2	-1.51	84.38	84.39	91
GMa	53.2	-82.27	18.98	84.44	167
G50BMa	53.2	-77.72	-32.98	84.44	203
BMa	53.2	4.37	-84.28	84.41	273
B50RMa	53.2	69.09	-48.41	84.37	325
NMa	10.99	0.0	0.0	0.0	0
WMa	95.41	0.0	0.0	0.0	0
RCIE	39.92	58.69	27.98	65.01	25
JCIE	81.26	-2.9	71.56	71.62	92
GCIE	52.23	-42.45	13.59	44.59	162
BCIE	30.57	1.35	-46.48	46.51	272



UG620-7, 3stufige Reihen für konstanten CIELAB Buntton 38/360 = 0.105 (links)

5stufige Reihen für konstanten CIELAB Buntton 24/360 = 0.067 (rechts)

BAM-Prüfvorlage UG62; Farbmetrik-Systeme ORS18 & NRS11input: *cmY0* setcmykcolor*

D65: 3 und 5stufige Farbreihen für 10 Bunttöne

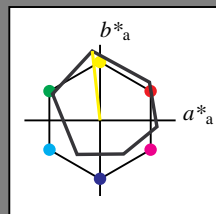
output: *no change compared to input*

Eingabe: Farbmetrisches Reflexions-System ORS18

für Buntton $h^* = lab^*h = 96/360 = 0.268$
 lab^*ich und lab^*nch

D65: Buntton Y
LCH*Ma: 90 92 96
rgb*Ma: 1.0 1.0 0.0

Dreiecks-Helligkeit t^*



%Umfang
 $u^*_{rel} = 93$
%Regularität
 $g^*_{H,rel} = 57$
 $g^*_{C,rel} = 59$

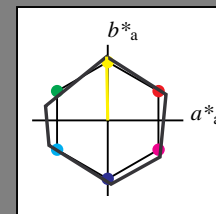
ORS18; adaptierte CIELAB-Daten					
	$L^*=L^*_a$	a^*_a	b^*_a	$C^*_{ab,a}$	$h^*_{ab,a}$
RMa	47.94	65.37	50.52	82.62	38
JMa	90.37	-10.27	91.77	92.34	96
GMa	50.9	-62.79	34.95	71.87	151
G50BMa	58.62	-30.35	-45.01	54.3	236
BMa	25.71	31.11	-44.42	54.24	305
B50RMa	48.13	75.27	-8.35	75.73	354
NMa	18.01	0.0	0.0	0.0	0
WMa	95.41	0.0	0.0	0.0	0
RCIE	39.92	58.66	26.98	64.56	25
JCIE	81.26	-2.17	67.76	67.79	92
GCIE	52.23	-42.26	11.75	43.87	164
BCIE	30.57	1.15	-46.84	46.87	271

Ausgabe: Farbmetrisches Reflexions-System NRS11

für Buntton $h^* = lab^*h = 91/360 = 0.253$
 lab^*ich und lab^*nch

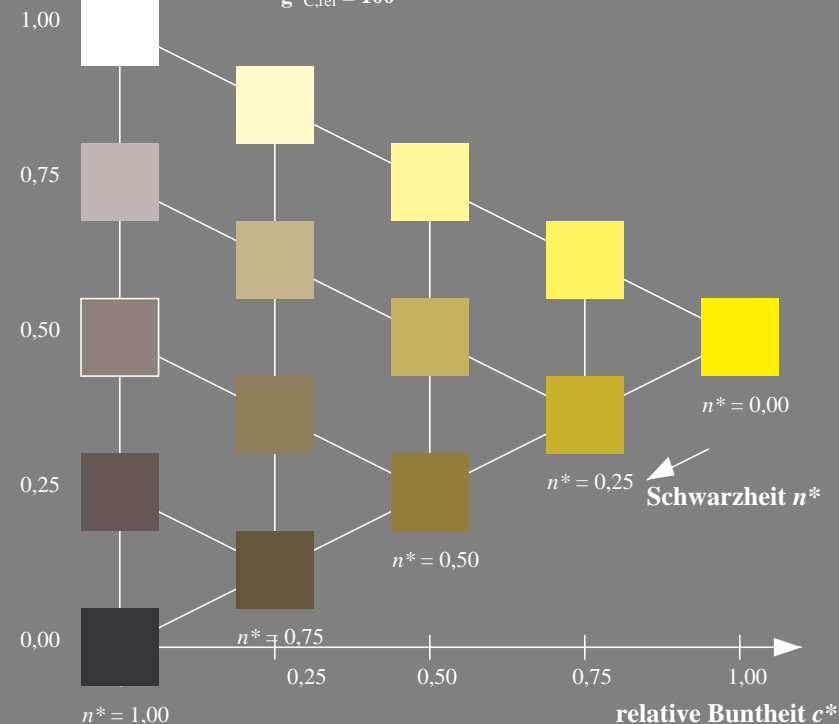
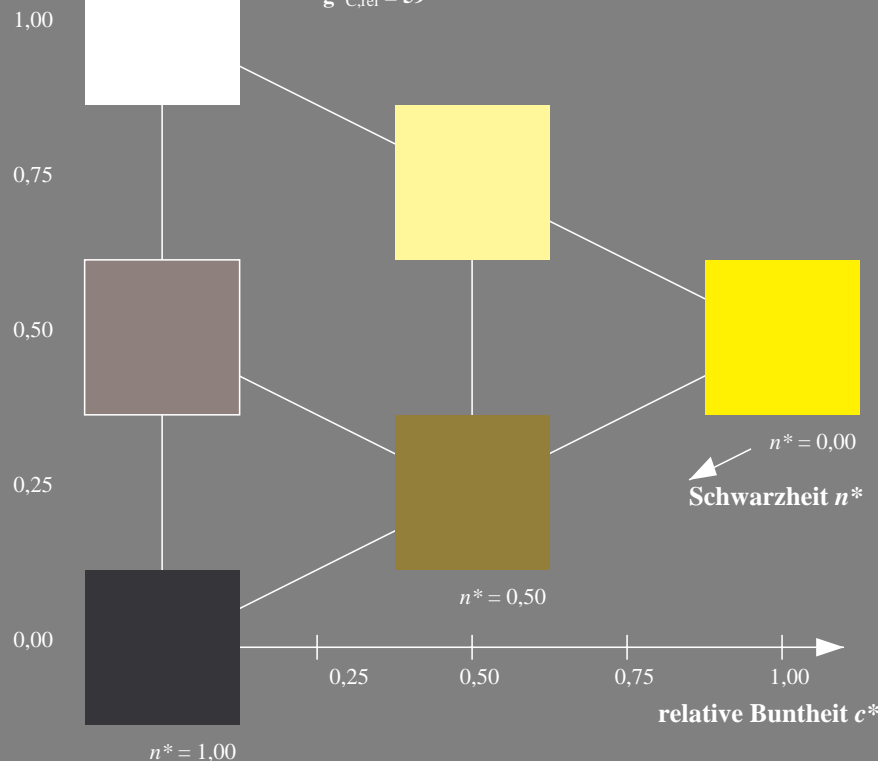
D65: Buntton J
LCH*Ma: 53 84 91
rgb*Ma: 1.0 1.0 0.0

Dreiecks-Helligkeit t^*



%Umfang
 $u^*_{rel} = 119$
%Regularität
 $g^*_{H,rel} = 47$
 $g^*_{C,rel} = 100$

NRS11; adaptierte CIELAB-Daten					
	$L^*=L^*_a$	a^*_a	b^*_a	$C^*_{ab,a}$	$h^*_{ab,a}$
RMa	53.2	77.06	34.32	84.36	24
JMa	53.2	-1.51	84.38	84.39	91
GMa	53.2	-82.27	18.98	84.44	167
G50BMa	53.2	-77.72	-32.98	84.44	203
BMa	53.2	4.37	-84.28	84.41	273
B50RMa	53.2	69.09	-48.41	84.37	325
NMa	10.99	0.0	0.0	0.0	0
WMa	95.41	0.0	0.0	0.0	0
RCIE	39.92	58.69	27.98	65.01	25
JCIE	81.26	-2.9	71.56	71.62	92
GCIE	52.23	-42.45	13.59	44.59	162
BCIE	30.57	1.35	-46.48	46.51	272



UG620-7, 3stufige Reihen für konstanten CIELAB Buntton 96/360 = 0.268 (links)

5stufige Reihen für konstanten CIELAB Buntton 91/360 = 0.253 (rechts)

BAM-Prüfvorlage UG62; Farbmetrik-Systeme ORS18 & NRS11 input: *cmY0* setcmykcolor*

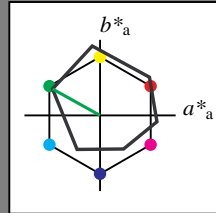
D65: 3 und 5stufige Farbreihen für 10 Bunttöne

output: *no change compared to input*

Eingabe: Farbmétrisches Reflexions-System ORS18

für Buntton $h^* = lab^*h = 151/360 = 0.419$
 lab^*ch und lab^*nch

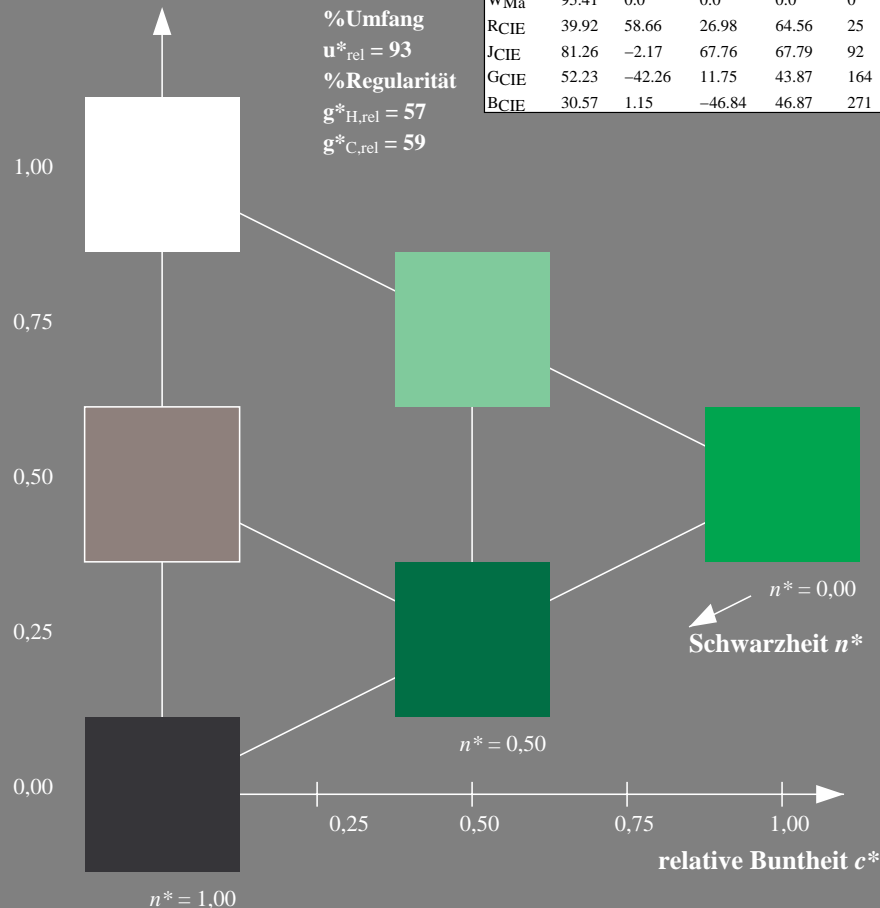
D65: Buntton L
LCH*Ma: 51 72 151
rgb*Ma: 0.0 1.0 0.0



%Umfang
 $u^*_{\text{rel}} = 93$
%Regularität
 $g^*_{\text{H,rel}} = 57$
 $g^*_{\text{C,rel}} = 59$

ORS18; adaptierte CIELAB-Daten					
	L^*_a	a^*_a	b^*_a	$C^*_{ab,a}$	$h^*_{ab,a}$
RMa	47.94	65.37	50.52	82.62	38
JMa	90.37	-10.27	91.77	92.34	96
GMa	50.9	-62.79	34.95	71.87	151
G50B _{Ma}	58.62	-30.35	-45.01	54.3	236
B _{Ma}	25.71	31.11	-44.42	54.24	305
B50R _{Ma}	48.13	75.27	-8.35	75.73	354
N _{Ma}	18.01	0.0	0.0	0.0	0
W _{Ma}	95.41	0.0	0.0	0.0	0
R _{CIE}	39.92	58.66	26.98	64.56	25
J _{CIE}	81.26	-2.17	67.76	67.79	92
G _{CIE}	52.23	-42.26	11.75	43.87	164
B _{CIE}	30.57	1.15	-46.84	46.87	271

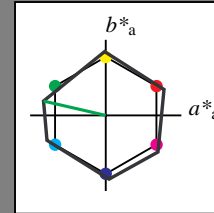
Dreiecks-Helligkeit t^*



Ausgabe: Farbmétrisches Reflexions-System NRS11

für Buntton $h^* = lab^*h = 167/360 = 0.464$
 lab^*ch und lab^*nch

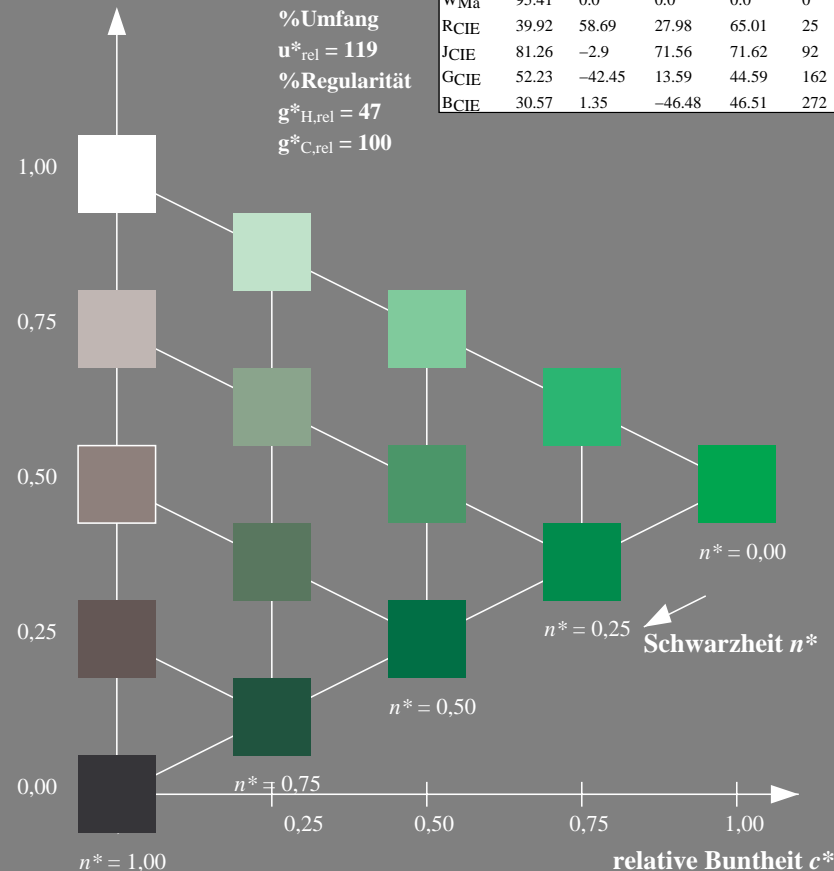
D65: Buntton G
LCH*Ma: 53 84 167
rgb*Ma: 0.0 1.0 0.0



%Umfang
 $u^*_{\text{rel}} = 119$
%Regularität
 $g^*_{\text{H,rel}} = 47$
 $g^*_{\text{C,rel}} = 100$

NRS11; adaptierte CIELAB-Daten					
	L^*_{a}	a^*_{a}	b^*_{a}	$C^*_{\text{ab,a}}$	$h^*_{\text{ab,a}}$
RMa	53.2	77.06	34.32	84.36	24
JMa	53.2	-1.51	84.38	84.39	91
GMa	53.2	-82.27	18.98	84.44	167
G50B _{Ma}	53.2	-77.72	-32.98	84.44	203
B _{Ma}	53.2	4.37	-84.28	84.41	273
B50R _{Ma}	53.2	69.09	-48.41	84.37	325
N _{Ma}	10.99	0.0	0.0	0.0	0
W _{Ma}	95.41	0.0	0.0	0.0	0
RCIE	39.92	58.69	27.98	65.01	25
JCIE	81.26	-2.9	71.56	71.62	92
GCIE	52.23	-42.45	13.59	44.59	162
BCIE	30.57	1.35	-46.48	46.51	272

Dreiecks-Helligkeit t^*



UG620-7, 3stufige Reihen für konstanten CIELAB Buntton $151/360 = 0.419$ (links)

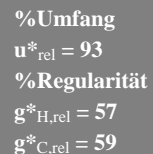
5stufige Reihen für konstanten CIELAB Buntton $167/360 = 0.464$ (rechts)

BAM-Prüfvorlage UG62; Farbmatrik-Systeme ORS18 & NRS11 input: *cmy0* setcmykcolor*

D65: 3 und 5stufige Farbreihen für 10 Bunttöne

output: *no change compared to input*

rgb*Ma: 0.0 1.0 1.0

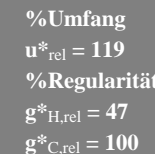


ORS18; adaptierte CIELAB-Daten					
	L^*_{*}	a^*_{*}	b^*_{*}	$C^*_{ab,*}$	$h^*_{ab,*}$
RMa	47.94	65.37	50.52	82.62	38
JMa	90.37	-10.27	91.77	92.34	96
GMa	50.9	-62.79	34.95	71.87	151
G50B _{Ma}	58.62	-30.35	-45.01	54.3	236
B _{Ma}	25.71	31.11	-44.42	54.24	305
B50R _{Ma}	48.13	75.27	-8.35	75.73	354
N _{Ma}	18.01	0.0	0.0	0.0	0
W _{Ma}	95.41	0.0	0.0	0.0	0
RCIE	39.92	58.66	26.98	64.56	25
JCIE	81.26	-2.17	67.76	67.79	92
GCIE	52.23	-42.26	11.75	43.87	164
B _{CIE}	30.57	1.15	-46.84	46.87	271

$$n^* = 1,00$$
relative Buntheit c^*

BAM-Prüfvorlage UG62; Farbmimetrik-Systeme CIE
D65: 3 und 5stufige Farbreihen für 10 Bunttöne

rgb*Ma: 0.0 1.0 1.0



NRS11; adaptierte CIELAB-Daten					
	L^*_{a}	a^*_{a}	b^*_{a}	$C^*_{\text{ab,a}}$	$h^*_{\text{ab,a}}$
R _{Ma}	53.2	77.06	34.32	84.36	24
J _{Ma}	53.2	-1.51	84.38	84.39	91
G _{Ma}	53.2	-82.27	18.98	84.44	167
G50B _{Ma}	53.2	-77.72	-32.98	84.44	203
B _{Ma}	53.2	4.37	-84.28	84.41	273
B50R _{Ma}	53.2	69.09	-48.41	84.37	325
N _{Ma}	10.99	0.0	0.0	0.0	0
W _{Ma}	95.41	0.0	0.0	0.0	0
R _{CIE}	39.92	58.69	27.98	65.01	25
J _{CIE}	81.26	-2.9	71.56	71.62	92
G _{CIE}	52.23	-42.45	13.59	44.59	162
B _{CIE}	30.57	1.35	-46.48	46.51	272

$$n^* = 1,00$$
relative Buntheit c^*

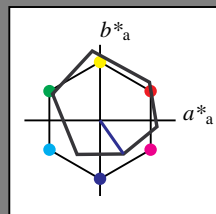
8 & NRS11input: *cmy0* setcmykcolor*
output: *no change compared to input*

Eingabe: Farbmetrisches Reflexions-System ORS18

für Buntton $h^* = lab^*h = 305/360 = 0.847$
 lab^*ich und lab^*nch

D65: Buntton V
LCH*Ma: 26 54 305
rgb*Ma: 0.0 0.0 1.0

Dreiecks-Helligkeit t^*



%Umfang
 $u^*_{rel} = 93$
%Regularität
 $g^*_{H,rel} = 57$
 $g^*_{C,rel} = 59$

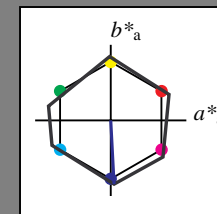
ORS18; adaptierte CIELAB-Daten					
	$L^*=L^*_a$	a^*_a	b^*_a	$C^*_{ab,a}$	$h^*_{ab,a}$
RMa	47.94	65.37	50.52	82.62	38
JMa	90.37	-10.27	91.77	92.34	96
GMa	50.9	-62.79	34.95	71.87	151
G50BMa	58.62	-30.35	-45.01	54.3	236
BMa	25.71	31.11	-44.42	54.24	305
B50RMa	48.13	75.27	-8.35	75.73	354
NMa	18.01	0.0	0.0	0.0	0
WMa	95.41	0.0	0.0	0.0	0
RCIE	39.92	58.66	26.98	64.56	25
JCIE	81.26	-2.17	67.76	67.79	92
GCIE	52.23	-42.26	11.75	43.87	164
BCIE	30.57	1.15	-46.84	46.87	271

Ausgabe: Farbmetrisches Reflexions-System NRS11

für Buntton $h^* = lab^*h = 273/360 = 0.758$
 lab^*ich und lab^*nch

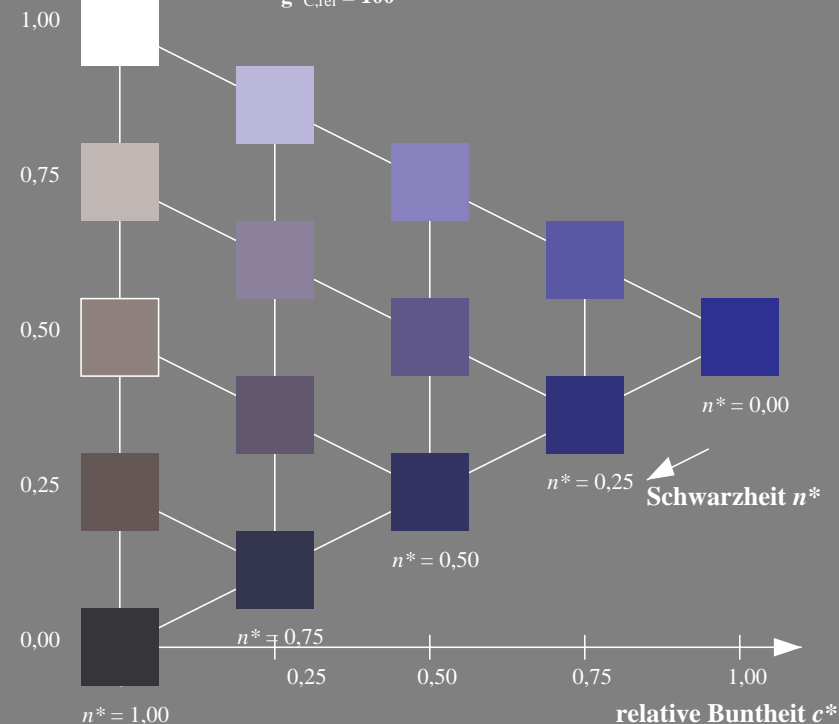
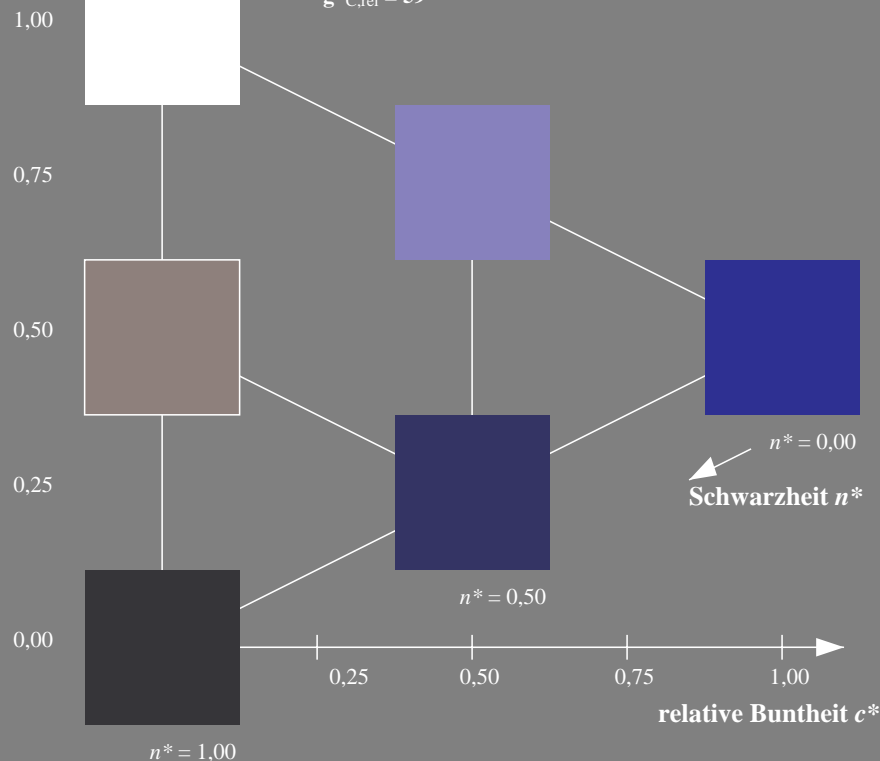
D65: Buntton B
LCH*Ma: 53 84 273
rgb*Ma: 0.0 0.0 1.0

Dreiecks-Helligkeit t^*



%Umfang
 $u^*_{rel} = 119$
%Regularität
 $g^*_{H,rel} = 47$
 $g^*_{C,rel} = 100$

NRS11; adaptierte CIELAB-Daten					
	$L^*=L^*_a$	a^*_a	b^*_a	$C^*_{ab,a}$	$h^*_{ab,a}$
RMa	53.2	77.06	34.32	84.36	24
JMa	53.2	-1.51	84.38	84.39	91
GMa	53.2	-82.27	18.98	84.44	167
G50BMa	53.2	-77.72	-32.98	84.44	203
BMa	53.2	4.37	-84.28	84.41	273
B50RMa	53.2	69.09	-48.41	84.37	325
NMa	10.99	0.0	0.0	0.0	0
WMa	95.41	0.0	0.0	0.0	0
RCIE	39.92	58.69	27.98	65.01	25
JCIE	81.26	-2.9	71.56	71.62	92
GCIE	52.23	-42.45	13.59	44.59	162
BCIE	30.57	1.35	-46.48	46.51	272



UG620-7, 3stufige Reihen für konstanten CIELAB Buntton 305/360 = 0.847 (links)

5stufige Reihen für konstanten CIELAB Buntton 273/360 = 0.758 (rechts)

BAM-Prüfvorlage UG62; Farbmetrik-Systeme ORS18 & NRS11 input: *cmY0* setcmykcolor*

D65: 3 und 5stufige Farbreihen für 10 Bunttöne

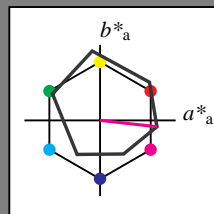
output: *no change compared to input*

Eingabe: Farbmetrisches Reflexions-System ORS18

für Buntton $h^* = lab^*h = 354/360 = 0.982$
 lab^*ich und lab^*nch

D65: Buntton M
LCH*Ma: 48 76 354
rgb*Ma: 1.0 0.0 1.0

Dreiecks-Helligkeit t^*



%Umfang
 $u^*_{rel} = 93$
%Regularität
 $g^*_{H,rel} = 57$
 $g^*_{C,rel} = 59$

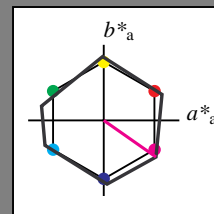
ORS18; adaptierte CIELAB-Daten					
	$L^*=L^*_a$	a^*_a	b^*_a	$C^*_{ab,a}$	$h^*_{ab,a}$
RMa	47.94	65.37	50.52	82.62	38
JMa	90.37	-10.27	91.77	92.34	96
GMa	50.9	-62.79	34.95	71.87	151
G50BMa	58.62	-30.35	-45.01	54.3	236
BMa	25.71	31.11	-44.42	54.24	305
B50RMa	48.13	75.27	-8.35	75.73	354
NMa	18.01	0.0	0.0	0.0	0
WMa	95.41	0.0	0.0	0.0	0
RCIE	39.92	58.66	26.98	64.56	25
JCIE	81.26	-2.17	67.76	67.79	92
GCIE	52.23	-42.26	11.75	43.87	164
BCIE	30.57	1.15	-46.84	46.87	271

Ausgabe: Farbmetrisches Reflexions-System NRS11

für Buntton $h^* = lab^*h = 325/360 = 0.903$
 lab^*ich und lab^*nch

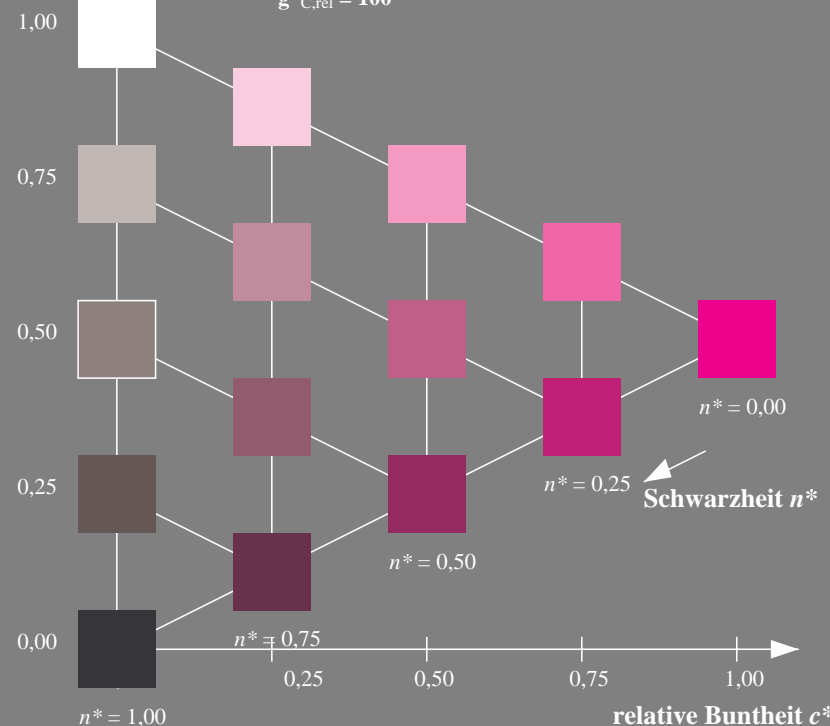
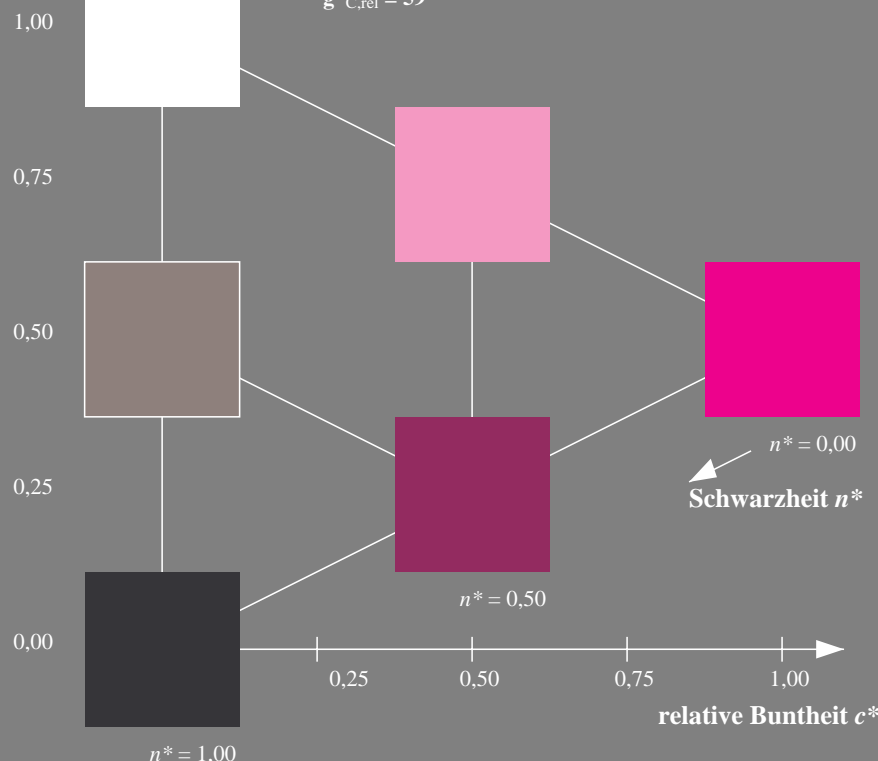
D65: Buntton B50R
LCH*Ma: 53 84 325
rgb*Ma: 1.0 0.0 1.0

Dreiecks-Helligkeit t^*



%Umfang
 $u^*_{rel} = 119$
%Regularität
 $g^*_{H,rel} = 47$
 $g^*_{C,rel} = 100$

NRS11; adaptierte CIELAB-Daten					
	$L^*=L^*_a$	a^*_a	b^*_a	$C^*_{ab,a}$	$h^*_{ab,a}$
RMa	53.2	77.06	34.32	84.36	24
JMa	53.2	-1.51	84.38	84.39	91
GMa	53.2	-82.27	18.98	84.44	167
G50BMa	53.2	-77.72	-32.98	84.44	203
BMa	53.2	4.37	-84.28	84.41	273
B50RMa	53.2	69.09	-48.41	84.37	325
NMa	10.99	0.0	0.0	0.0	0
WMa	95.41	0.0	0.0	0.0	0
RCIE	39.92	58.69	27.98	65.01	25
JCIE	81.26	-2.9	71.56	71.62	92
GCIE	52.23	-42.45	13.59	44.59	162
BCIE	30.57	1.35	-46.48	46.51	272



UG620-7, 3stufige Reihen für konstanten CIELAB Buntton 354/360 = 0.982 (links)

5stufige Reihen für konstanten CIELAB Buntton 325/360 = 0.903 (rechts)

BAM-Prüfvorlage UG62; Farbmetrik-Systeme ORS18 & NRS11input: *cmY0* setcmykcolor*

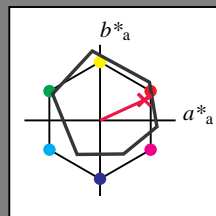
D65: 3 und 5stufige Farbreihen für 10 Bunttöne

output: *no change compared to input*

Eingabe: Farbmétrisches Reflexions-System ORS18

für Buntton $h^* = lab^*h = 25/360 = 0.069$
 lab^*ch und lab^*nch

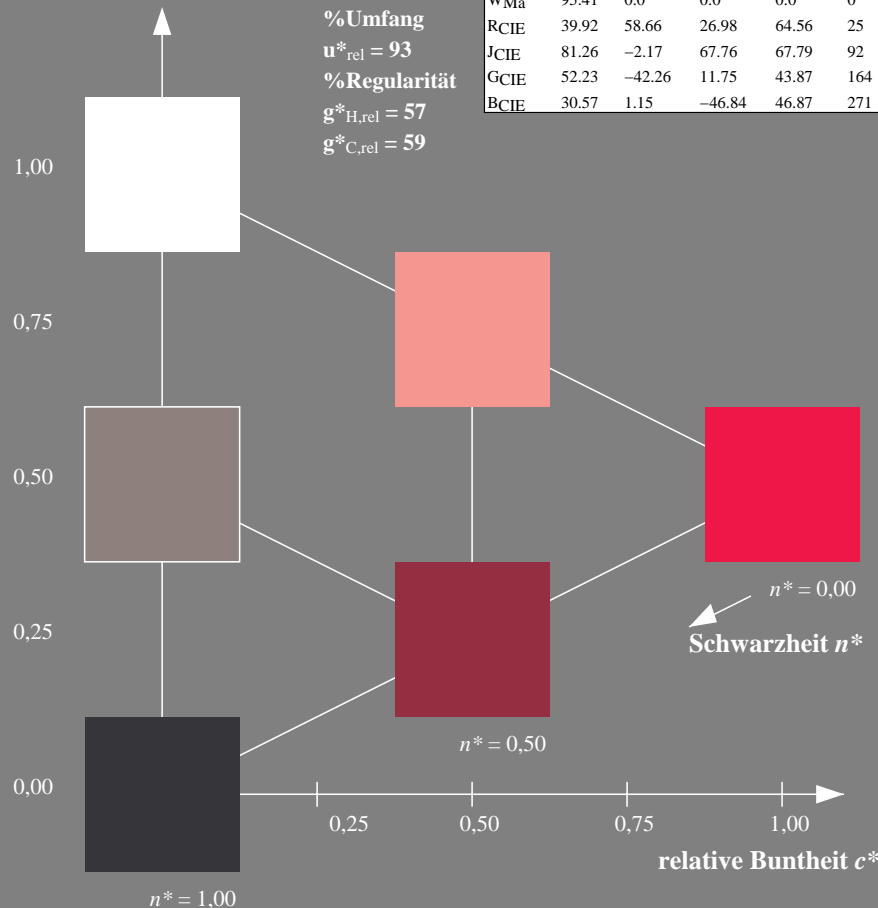
D65: Buntton R
LCH*Ma: 48 75 25
rgb*Ma: 1.0 0.0 0.32



%Umfang
 $u^*_{\text{rel}} = 93$
%Regularität
 $g^*_{\text{H,rel}} = 57$
 $g^*_{\text{C,rel}} = 59$

ORS18; adaptierte CIELAB-Daten					
	L^*_a	a^*_a	b^*_a	$C^*_{ab,a}$	$h^*_{ab,a}$
RMa	47.94	65.37	50.52	82.62	38
JMa	90.37	-10.27	91.77	92.34	96
GMa	50.9	-62.79	34.95	71.87	151
G50B _{Ma}	58.62	-30.35	-45.01	54.3	236
B _{Ma}	25.71	31.11	-44.42	54.24	305
B50R _{Ma}	48.13	75.27	-8.35	75.73	354
N _{Ma}	18.01	0.0	0.0	0.0	0
W _{Ma}	95.41	0.0	0.0	0.0	0
RCIE	39.92	58.66	26.98	64.56	25
JCIE	81.26	-2.17	67.76	67.79	92
GCIE	52.23	-42.26	11.75	43.87	164
BCIE	30.57	1.15	-46.84	46.87	277

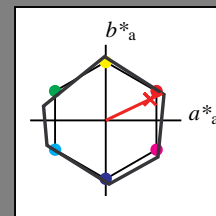
Dreiecks-Helligkeit t^*



Ausgabe: Farbmétrisches Reflexions-System NRS11

für Buntton $h^* = lab^*h = 25/360 = 0.071$

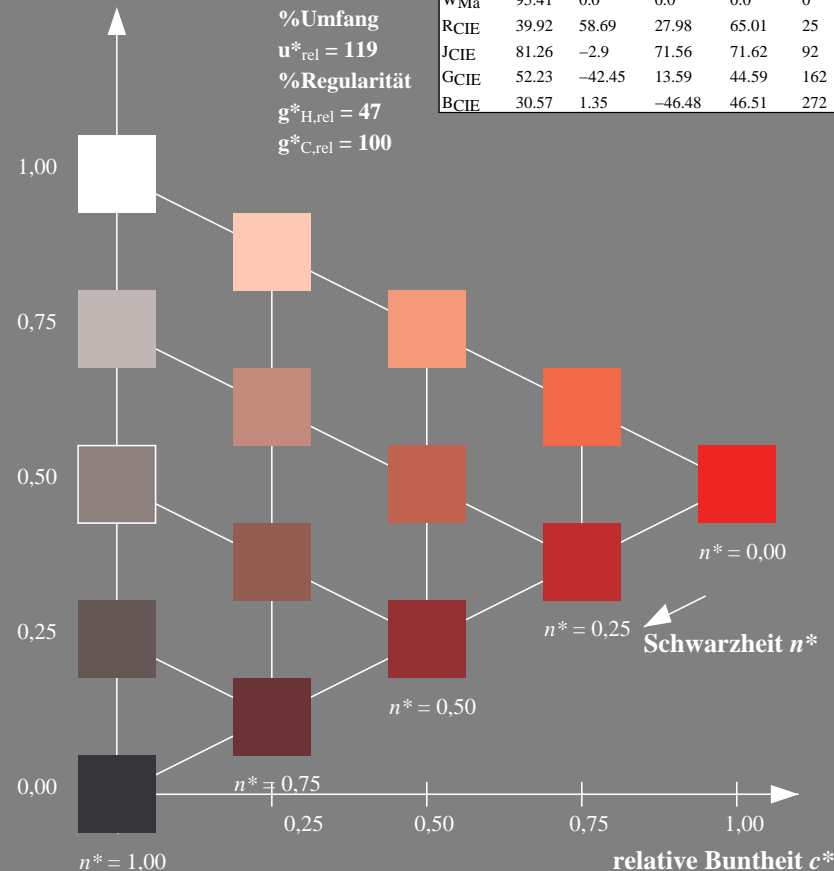
D65: Buntton R
LCH*Ma: 53 83 25
rgb*Ma: 1.0 0.03 0.0



%Umfang
 $u^*_{\text{rel}} = 119$
%Regularität
 $g^*_{\text{H,rel}} = 47$
 $g^*_{\text{C,rel}} = 100$

NRS11; adaptierte CIELAB-Daten					
	$L^*=L^*_a$	a^*_a	b^*_a	$C^*_{ab,a}$	$h^*_{ab,a}$
RMa	53.2	77.06	34.32	84.36	24
JMa	53.2	-1.51	84.38	84.39	91
GMa	53.2	-82.27	18.98	84.44	167
G50BMa	53.2	-77.72	-32.98	84.44	203
BMa	53.2	4.37	-84.28	84.41	273
B50RMa	53.2	69.09	-48.41	84.37	325
NMa	10.99	0.0	0.0	0.0	0
WMa	95.41	0.0	0.0	0.0	0
RCIE	39.92	58.69	27.98	65.01	25
JCIE	81.26	-2.9	71.56	71.62	92
GCIE	52.23	-42.45	13.59	44.59	162
BCIE	30.57	1.35	-46.48	46.51	272

Dreiecks-Helligkeit t^*



UG620-7, 3stufige Reihen für konstanten CIELAB Buntton $25/360 = 0.069$ (links)

5stufige Reihen für konstanten CIELAB Buntton $25/360 = 0.071$ (rechts)

BAM-Prüfvorlage UG62; Farbmeter-Systeme ORS18 & NRS11 input: *cmy0* setcmykcolor*

D65: 3 und 5stufige Farbreihen für 10 Bunttöne

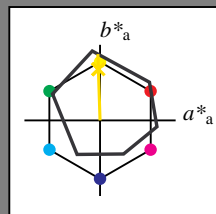
output: *no change compared to input*

Eingabe: Farbmetrisches Reflexions-System ORS18

für Buntton $h^* = lab^*h = 92/360 = 0.255$
 lab^*ich und lab^*nch

D65: Buntton J
LCH*Ma: 86 88 92
rgb*Ma: 1.0 0.9 0.0

Dreiecks-Helligkeit t^*



%Umfang
 $u^*_{rel} = 93$
%Regularität
 $g^*_{H,rel} = 57$
 $g^*_{C,rel} = 59$

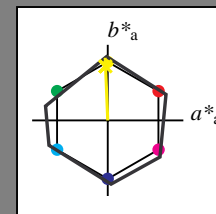
ORS18; adaptierte CIELAB-Daten					
	$L^*=L^*_a$	a^*_a	b^*_a	$C^*_{ab,a}$	$h^*_{ab,a}$
RMa	47.94	65.37	50.52	82.62	38
JMa	90.37	-10.27	91.77	92.34	96
GMa	50.9	-62.79	34.95	71.87	151
G50BMa	58.62	-30.35	-45.01	54.3	236
BMa	25.71	31.11	-44.42	54.24	305
B50RMa	48.13	75.27	-8.35	75.73	354
NMa	18.01	0.0	0.0	0.0	0
WMa	95.41	0.0	0.0	0.0	0
RCIE	39.92	58.66	26.98	64.56	25
JCIE	81.26	-2.17	67.76	67.79	92
GCIE	52.23	-42.26	11.75	43.87	164
BCIE	30.57	1.15	-46.84	46.87	271

Ausgabe: Farbmetrisches Reflexions-System NRS11

für Buntton $h^* = lab^*h = 92/360 = 0.256$
 lab^*ich und lab^*nch

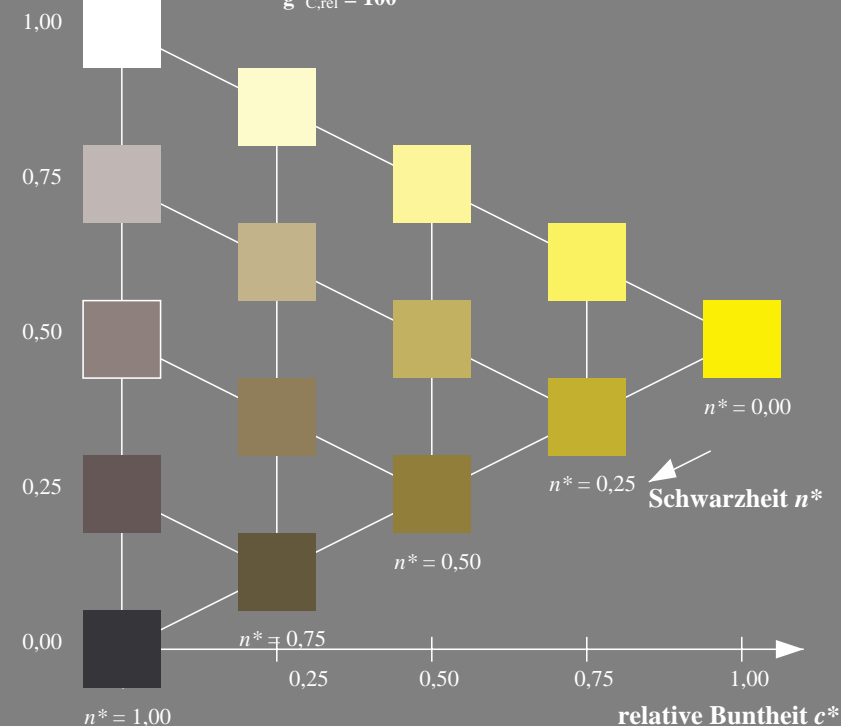
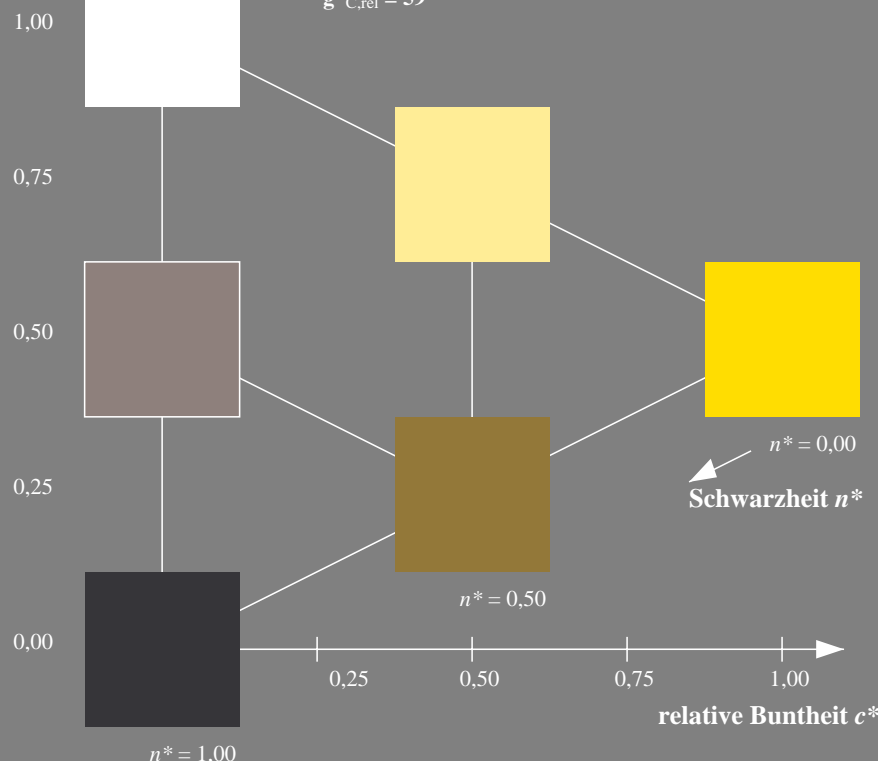
D65: Buntton J
LCH*Ma: 53 83 92
rgb*Ma: 0.98 1.0 0.0

Dreiecks-Helligkeit t^*



%Umfang
 $u^*_{rel} = 119$
%Regularität
 $g^*_{H,rel} = 47$
 $g^*_{C,rel} = 100$

NRS11; adaptierte CIELAB-Daten					
	$L^*=L^*_a$	a^*_a	b^*_a	$C^*_{ab,a}$	$h^*_{ab,a}$
RMa	53.2	77.06	34.32	84.36	24
JMa	53.2	-1.51	84.38	84.39	91
GMa	53.2	-82.27	18.98	84.44	167
G50BMa	53.2	-77.72	-32.98	84.44	203
BMa	53.2	4.37	-84.28	84.41	273
B50RMa	53.2	69.09	-48.41	84.37	325
NMa	10.99	0.0	0.0	0.0	0
WMa	95.41	0.0	0.0	0.0	0
RCIE	39.92	58.69	27.98	65.01	25
JCIE	81.26	-2.9	71.56	71.62	92
GCIE	52.23	-42.45	13.59	44.59	162
BCIE	30.57	1.35	-46.48	46.51	272



UG620-7, 3stufige Reihen für konstanten CIELAB Buntton 92/360 = 0.255 (links)

5stufige Reihen für konstanten CIELAB Buntton 92/360 = 0.256 (rechts)

BAM-Prüfvorlage UG62; Farbmetrik-Systeme ORS18 & NRS11input: *cmY0* setcmykcolor*

D65: 3 und 5stufige Farbreihen für 10 Bunttöne

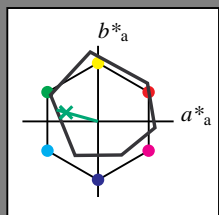
output: *no change compared to input*

Eingabe: Farbmetrisches Reflexions-System ORS18

für Buntton $h^* = lab^*h = 164/360 = 0.457$
 lab^*ich und lab^*nch

D65: Buntton G
LCH*Ma: 53 57 164
rgb*Ma: 0.0 1.0 0.25

Dreiecks-Helligkeit t^*



%Umfang
 $u^*_{rel} = 93$
%Regularität
 $g^*_{H,rel} = 57$
 $g^*_{C,rel} = 59$

ORS18; adaptierte CIELAB-Daten

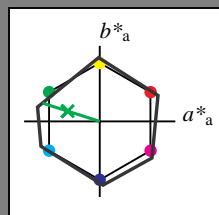
	$L^*=L^*_a$	a^*_a	b^*_a	$C^*_{ab,a}$	$h^*_{ab,a}$
RMa	47.94	65.37	50.52	82.62	38
JMa	90.37	-10.27	91.77	92.34	96
GMa	50.9	-62.79	34.95	71.87	151
G50BMa	58.62	-30.35	-45.01	54.3	236
BMa	25.71	31.11	-44.42	54.24	305
B50RMa	48.13	75.27	-8.35	75.73	354
NMa	18.01	0.0	0.0	0.0	0
WMa	95.41	0.0	0.0	0.0	0
RCIE	39.92	58.66	26.98	64.56	25
JCIE	81.26	-2.17	67.76	67.79	92
GCIE	52.23	-42.26	11.75	43.87	164
BCIE	30.57	1.15	-46.84	46.87	271

Ausgabe: Farbmetrisches Reflexions-System NRS11

für Buntton $h^* = lab^*h = 162/360 = 0.451$
 lab^*ich und lab^*nch

D65: Buntton G
LCH*Ma: 53 80 162
rgb*Ma: 0.08 1.0 0.0

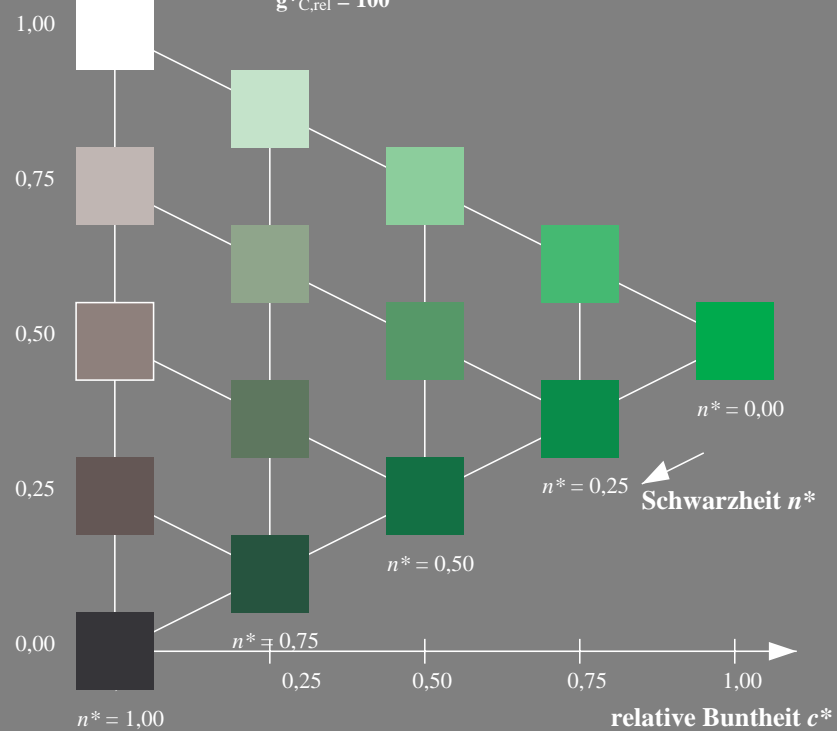
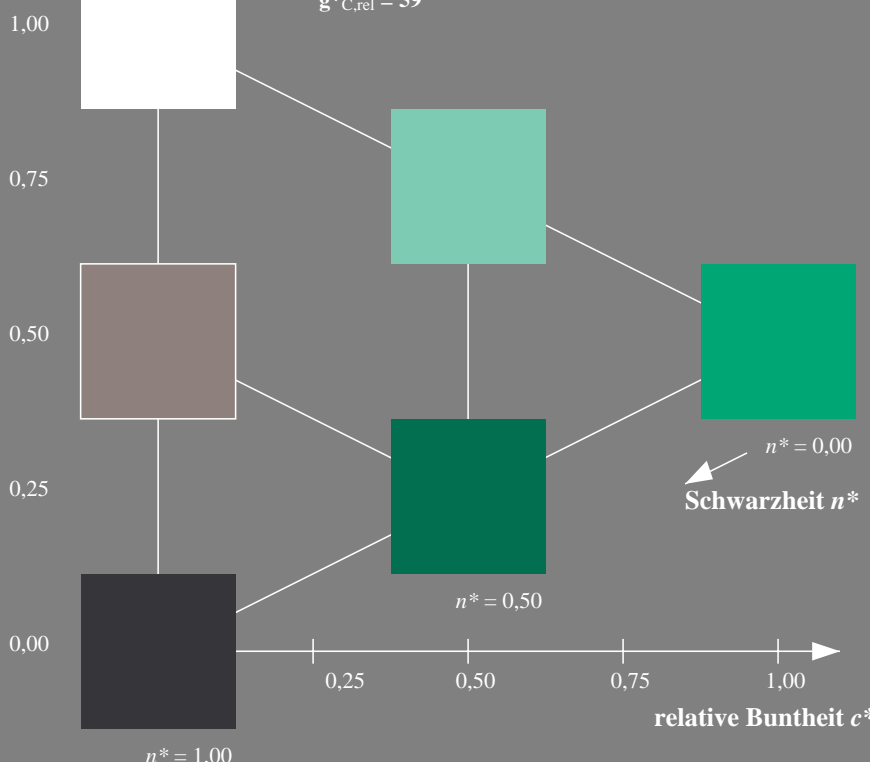
Dreiecks-Helligkeit t^*



%Umfang
 $u^*_{rel} = 119$
%Regularität
 $g^*_{H,rel} = 47$
 $g^*_{C,rel} = 100$

NRS11; adaptierte CIELAB-Daten

	$L^*=L^*_a$	a^*_a	b^*_a	$C^*_{ab,a}$	$h^*_{ab,a}$
RMa	53.2	77.06	34.32	84.36	24
JMa	53.2	-1.51	84.38	84.39	91
GMa	53.2	-82.27	18.98	84.44	167
G50BMa	53.2	-77.72	-32.98	84.44	203
BMa	53.2	4.37	-84.28	84.41	273
B50RMa	53.2	69.09	-48.41	84.37	325
NMa	10.99	0.0	0.0	0.0	0
WMa	95.41	0.0	0.0	0.0	0
RCIE	39.92	58.69	27.98	65.01	25
JCIE	81.26	-2.9	71.56	71.62	92
GCIE	52.23	-42.45	13.59	44.59	162
BCIE	30.57	1.35	-46.48	46.51	272



UG620-7, 3stufige Reihen für konstanten CIELAB Buntton 164/360 = 0.457 (links)

5stufige Reihen für konstanten CIELAB Buntton 162/360 = 0.451 (rechts)

BAM-Prüfvorlage UG62; Farbmetrik-Systeme ORS18 & NRS11 input: *cmY0* setcmykcolor*

D65: 3 und 5stufige Farbreihen für 10 Bunttöne

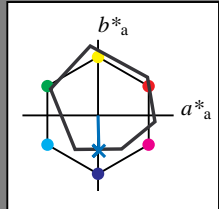
output: *no change compared to input*

Eingabe: Farbmetrisches Reflexions-System ORS18

für Buntton $h^* = lab^*h = 271/360 = 0.754$
 lab^*ich und lab^*nch

D65: Buntton B
LCH*Ma: 42 45 271
rgb*Ma: 0.0 0.49 1.0

Dreiecks-Helligkeit t^*



%Umfang
 $u^*_{rel} = 93$
%Regularität
 $g^*_{H,rel} = 57$
 $g^*_{C,rel} = 59$

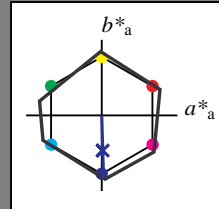
ORS18; adaptierte CIELAB-Daten					
	$L^*=L^*_a$	a^*_a	b^*_a	$C^*_{ab,a}$	$h^*_{ab,a}$
RMa	47.94	65.37	50.52	82.62	38
JMa	90.37	-10.27	91.77	92.34	96
GMa	50.9	-62.79	34.95	71.87	151
G50BMa	58.62	-30.35	-45.01	54.3	236
BMa	25.71	31.11	-44.42	54.24	305
B50RMa	48.13	75.27	-8.35	75.73	354
NMa	18.01	0.0	0.0	0.0	0
WMa	95.41	0.0	0.0	0.0	0
RCIE	39.92	58.66	26.98	64.56	25
JCIE	81.26	-2.17	67.76	67.79	92
GCIE	52.23	-42.26	11.75	43.87	164
BCIE	30.57	1.15	-46.84	46.87	271

Ausgabe: Farbmetrisches Reflexions-System NRS11

für Buntton $h^* = lab^*h = 272/360 = 0.755$
 lab^*ich und lab^*nch

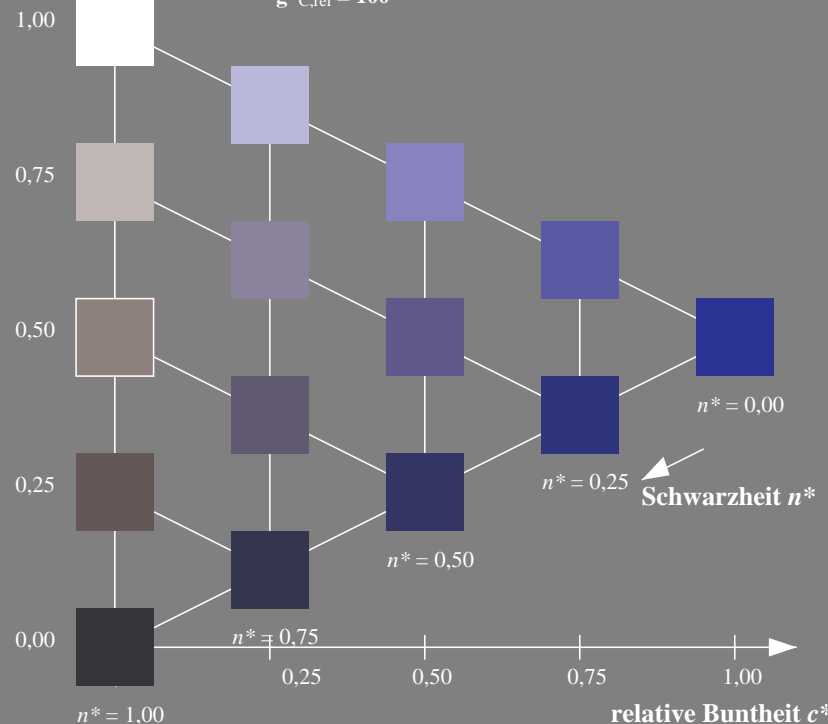
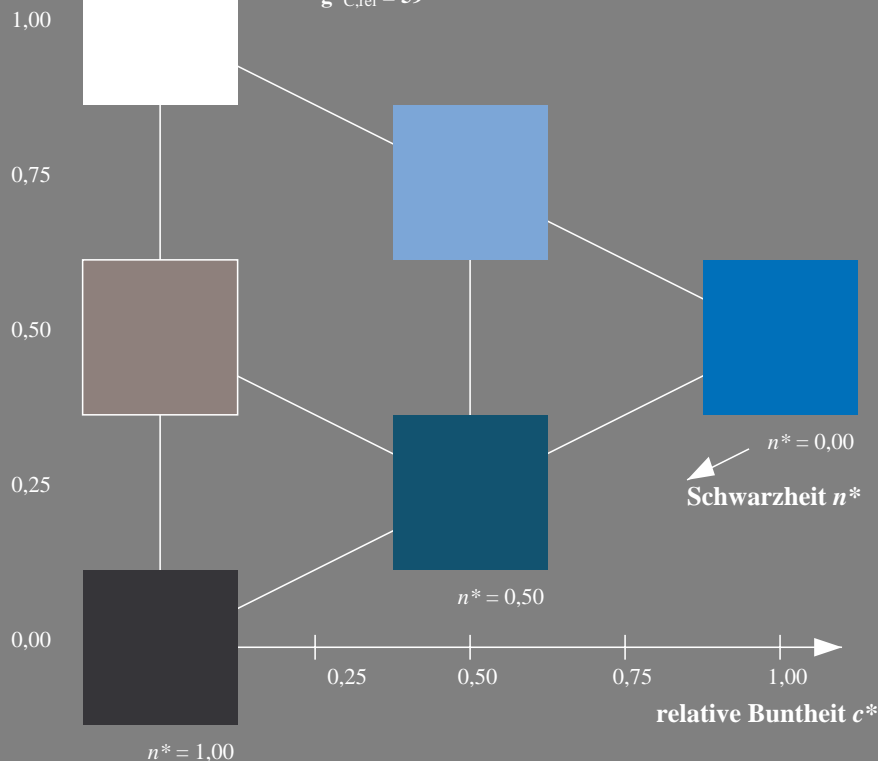
D65: Buntton B
LCH*Ma: 53 83 272
rgb*Ma: 0.0 0.02 1.0

Dreiecks-Helligkeit t^*



%Umfang
 $u^*_{rel} = 119$
%Regularität
 $g^*_{H,rel} = 47$
 $g^*_{C,rel} = 100$

NRS11; adaptierte CIELAB-Daten					
	$L^*=L^*_a$	a^*_a	b^*_a	$C^*_{ab,a}$	$h^*_{ab,a}$
RMa	53.2	77.06	34.32	84.36	24
JMa	53.2	-1.51	84.38	84.39	91
GMa	53.2	-82.27	18.98	84.44	167
G50BMa	53.2	-77.72	-32.98	84.44	203
BMa	53.2	4.37	-84.28	84.41	273
B50RMa	53.2	69.09	-48.41	84.37	325
NMa	10.99	0.0	0.0	0.0	0
WMa	95.41	0.0	0.0	0.0	0
RCIE	39.92	58.69	27.98	65.01	25
JCIE	81.26	-2.9	71.56	71.62	92
GCIE	52.23	-42.45	13.59	44.59	162
BCIE	30.57	1.35	-46.48	46.51	272



UG620-7, 3stufige Reihen für konstanten CIELAB Buntton 271/360 = 0.754 (links)

5stufige Reihen für konstanten CIELAB Buntton 272/360 = 0.755 (rechts)

BAM-Prüfvorlage UG62; Farbmetrik-Systeme ORS18 & NRS11 input: *cmY0* setcmykcolor*

D65: 3 und 5stufige Farbreihen für 10 Bunttöne

output: *no change compared to input*